

01;03

Нелинейные колебания заряженной капли в третьем порядке малости по амплитуде многомодовой начальной деформации

© А.Н. Жаров, С.О. Ширяева, А.И. Григорьев

Ярославский государственный университет им. П.Г. Демидова,
150000 Ярославль, Россия
e-mail: shir@uniyar.ac.ru

(Поступило в Редакцию 15 апреля 2003 г.)

Методом многих масштабов найдено решение задачи о нелинейных осцилляциях поверхности заряженной капли идеальной жидкости с учетом поправок третьего порядка малости по величине многомодовой начальной деформации равновесной сферической формы. Показано, что спектр мод, вовлеченных в рельефообразование поверхности капли в произвольный момент времени, существенно зависит от спектра мод, определяющих начальную деформацию капли, который влияет и на величины нелинейных поправок к частотам осцилляций, а следовательно, и на величину нелинейной поправки к критическому значению параметра Рэлея, определяющего устойчивость капли по отношению к собственному заряду.

1. Известный интерес со стороны исследователей к изучению нелинейной динамики и неустойчивости заряженной поверхности жидкости в различных геометриях связан с многочисленными приложениями феномена в геофизике, технической физике, научном приборостроении и химической технологии [1–3].

Одной из первых работ, посвященных исследованию нелинейных осцилляций поверхности заряженной капли идеальной жидкости, является статья Тсамополуса и Брауна [4], в которой приведено решение задачи о нелинейных колебаниях поверхности заряженной капли при одномодовой начальной деформации, когда начальная форма капли в сферической системе координат (r, ϑ, φ) описывается уравнением

$$r = R + \xi_0 P_0(\cos \vartheta) + \varepsilon P_m(\cos \vartheta),$$

где ε — произвольный малый параметр, определяющий амплитуду начальной деформации, $P_m(\cos \vartheta)$ — полином Лежандра порядка m , ξ_0 — константа, подобранная так, чтобы объем капли при указанной начальной деформации оставался равным объему сферической капли радиуса R . В [4] аналитическое выражение для образующей капли, совершающей нелинейные осцилляции, было приведено с точностью до величин второго порядка малости по амплитуде начальной деформации. Кроме того, в [4] были рассчитаны аналитические выражения для нелинейных поправок к частотам осцилляций для фиксированных начальных деформаций, появляющиеся лишь в третьем порядке малости, хорошо согласующиеся с экспериментальными данными [5]. Однако все исследование было выполнено для ограниченного спектра начальных деформаций формы капли: когда начальная деформация капли определялась второй ($n = 2$), третьей ($n = 3$) или четвертой ($n = 4$) модой.

Исследование, начатое в [4], было продолжено в [6], где во втором порядке приближений по ε была проанализирована ситуация с начальным возбуждением произвольной m -ой моды. В [6] было также показано,

что спектр мод, возбуждающихся во втором порядке малости за счет нелинейного взаимодействия, содержит только моды с четными номерами из диапазона $[0, 2m]$. Также выяснилось, что нелинейные осцилляции поверхности капли происходят в окрестности фигуры, типа вытянутого сфероида, а не в окрестности сферы, как это следовало из линейного анализа.

Ситуация, когда начальная форма поверхности описывается выражением

$$r = R + \xi_0 P_0(\cos \vartheta) + \xi_1 P_1(\cos \vartheta) + \varepsilon (h_{n_1} P_{n_1}(\cos \vartheta) + h_{n_2} P_{n_2}(\cos \vartheta)),$$

где ξ_1 — константа, определяемая из условия неподвижности центра масс капли при нелинейных осцилляциях, h_{n_1}, h_{n_2} — константы, учитывающие парциальный вклад каждой моды в начальную деформацию сферической поверхности, рассмотрена в квадратичном приближении по ε в [7]. В работе [7] исследованы также закономерности реализации нелинейного резонансного обмена энергией между модами, имеющем место при условии выполнения соотношения:

$$\omega_{n_1} = 2\omega_{n_2},$$

где $\omega_n = (\sigma/\rho R^3) \sqrt{n(n-1)(n+2-W)}$ — частота n -ой моды капиллярных колебаний капли, $W = Q^2/(4\pi\sigma R^3)$ — параметр Рэлея.

Случай, когда начальная деформация поверхности капли определяется суперпозицией произвольного конечного числа мод, проанализирован в [8]. В такой ситуации начальная форма поверхности капли описывается уравнением

$$r = R + \xi_0 P_0(\cos \vartheta) + \xi_1 P_1(\cos \vartheta) + \varepsilon \sum_{m \in \Omega} h_m P_m(\cos \vartheta),$$

где Ω — множество номеров изначально возбужденных мод, h_m — константа, учитывающая парциальный

вклад m моды в формирование начальной деформации сферической формы капли. Исследования, выполненные в [8], были проведены с точностью до величин второго порядка малости по величине ε , что позволило получить аналитические выражения для нелинейных поправок к амплитудам мод. Анализ этих выражений показал, что спектр мод второго порядка малости может содержать как четные, так и нечетные моды. Так, например, при возбуждении двух мод с номерами n_1 и n_2 в спектре второго порядка малости будут содержаться только четные моды с номерами из диапазона $[0, \max\{2n_1, 2n_2\}]$, если n_1 и n_2 имеют одновременно либо четные либо нечетные значения. Если же n_1 четно, а n_2 нечетно, то спектр второго порядка будет содержать четные моды с номерами $[0, \max\{2n_1, 2n_2\}]$ и нечетные из диапазона $[|n_1 - n_2|, n_1 + n_2]$.

В [9] расчет нелинейных осцилляций заряженной капли в третьем порядке малости по амплитуде начальной деформации был проведен при произвольной одномодовой начальной деформации, получены аналитические выражения для образующей капли и нелинейных поправок к частотам. В [10] указано на существование внутренних нелинейных резонансов, реализующихся в заряженной капле при четырехмодовом взаимодействии, когда начальная деформация капли определена суперпозицией нескольких мод.

В настоящей работе, выполненной в развитие [9,10], предполагается изучить особенности реализации нелинейных осцилляций капли в третьем порядке малости по амплитуде начальной многомодовой деформации и найти в такой ситуации аналитические выражения для поправок к частотам осцилляций.

2. Пусть имеется капля радиуса R идеальной идеальной проводящей жидкости с плотностью ρ и коэффициентом поверхностного натяжения σ , несущая заряд Q . Движение жидкости в капле, связанное с ее капиллярными осцилляциями, примем потенциальным с потенциалом скорости ψ . Потенциал электростатического поля собственного заряда в окрестности капли обозначим ϕ . Форму капли будем считать осесимметричной как в начальный, так и во все последующие моменты времени. Уравнение поверхности капли в безразмерных переменных, в которых $R = \rho = \sigma = 1$, в произвольный момент времени t запишется в виде

$$F(r, \vartheta, t) = r - 1 - \xi(\vartheta, t) = 0. \quad (1)$$

Начальную деформацию формы капли зададим в виде суперпозиции нескольких мод

$$t = 0: \quad \xi = \xi_0 P_0(\cos \vartheta) + \xi_1 P_1(\cos \vartheta) + \varepsilon \sum_{m \in \Omega} h_m P_m(\cos \vartheta); \quad (2)$$

а начальную скорость всех точек на поверхности капли примем нулевой

$$t = 0: \quad \partial_t \xi = 0, \quad (3)$$

где знак ∂_t означает частную производную по переменной t .

Полная математическая формулировка задачи о капиллярных колебаниях заряженной капли, кроме уравнения поверхности капли (1) и начальных условий (2), (3) содержит [11,12]: уравнения Лапласа для потенциалов скорости жидкости и электрического поля

$$\Delta \psi = 0; \quad \Delta \phi = 0; \quad (4)$$

условия ограниченности потенциалов

$$r \rightarrow 0: \quad \psi \rightarrow 0; \quad (5)$$

$$r \rightarrow +\infty: \quad \nabla \phi \rightarrow 0; \quad (6)$$

кинематическое и динамическое граничные условия

$$r = 1 + \xi(\vartheta, t): \quad \frac{dF}{dt} = 0; \quad (7)$$

$$\partial_t \psi + \frac{1}{2} (\nabla \psi)^2 = p + p_q - p_{am} - p_\sigma; \quad (8)$$

условие неизменности объема капли

$$\int_V r^2 \sin \vartheta dr d\vartheta d\varphi = \frac{4\pi}{3}; \quad (9)$$

$$V = \{r, \vartheta, \varphi \mid 0 \leq r \leq 1 + \xi; 0 \leq \vartheta \leq \pi; 0 \leq \varphi \leq 2\pi\};$$

условие неподвижности центра масс

$$\int_V \vec{r} r^2 \sin \vartheta dr d\vartheta d\varphi = 0; \quad (10)$$

условие постоянства полного заряда

$$r = 1 + \xi(\vartheta, t): \quad \int_S \vec{n} \cdot \nabla \phi dS = -4\pi Q; \quad (11)$$

$$S = \{r, \vartheta, \varphi \mid r = 1 + \xi; 0 \leq \vartheta \leq \pi; 0 \leq \varphi \leq 2\pi\};$$

условие постоянства электрического потенциала вдоль поверхности

$$r = 1 + \xi(\vartheta, t): \quad \phi = \phi_S(t); \quad (12)$$

в выражениях (4)–(12) p — давление внутри капли в равновесном состоянии; p_q и p_σ — давление электрического поля и капиллярное, p_{am} — атмосферное давление; \vec{n} — вектор нормали к поверхности капли; ϕ_S — электрический потенциал поверхности капли.

Для удобства записи дальнейших выражений расширим множество констант h_m дополнив его так, что при любых $m \in \Omega$ имеем $h_m \equiv 0$.

3. Задачу (1)–(12) будем решать методом многих масштабов [13]. Для этого введем три различных временных масштаба $T_m = \varepsilon^m t$, $m = 0, 1, 2$, а искомые величины задачи представим в виде разложений

$$\phi(r, \vartheta, t) = \sum_{n=0}^3 \varepsilon^n \phi^{(n)}(r, \vartheta, T_0, T_1, T_2) + O(\varepsilon^4), \quad (13)$$

$$\phi_S(r, t) = \sum_{n=0}^3 \varepsilon^n \phi_S^{(n)}(r, T_0, T_1, T_2) + O(\varepsilon^4); \quad (14)$$

$$\psi(r, \vartheta, t) = \sum_{n=1}^3 \varepsilon^n \psi^{(n)}(r, \vartheta, T_0, T_1, T_2) + O(\varepsilon^4);$$

$$\xi(\vartheta, t) = \sum_{n=1}^3 \varepsilon^n \xi^{(n)}(\vartheta, T_0, T_1, T_2) + O(\varepsilon^4); \quad (15)$$

где $\phi^{(0)} = Q/r$; $\phi_S^{(0)} = Q$ — решения нулевого порядка малости, т. е. для равновесной сферической поверхности капли.

Подставляя (13)–(15) в (1)–(12) получим задачи различных порядков малости, которые для краткости изложения вынесены в „Приложение А“.

Поскольку уравнение Лапласа (4) является линейным, то в каждом порядке малости потенциалы скорости жидкости и электрического поля будут являться решениями уравнений Лапласа (1А), (10А), (19А), и с учетом условий ограниченности их можно записать в виде

$$\begin{aligned} \psi^{(m)}(r, \vartheta, T_0, T_1, T_2) = \\ = \sum_{n=1}^{\infty} r^n D_n^{(m)}(T_0, T_1, T_2) P_n(\cos \vartheta); \quad m = 1, 2, 3; \quad (16) \end{aligned}$$

$$\begin{aligned} \phi^{(m)}(r, \vartheta, T_0, T_1, T_2) = \\ = \sum_{n=0}^{\infty} \frac{F_n^{(m)}(T_0, T_1, T_2)}{r^{n+1}} P_n(\cos \vartheta); \quad m = 1, 2, 3. \quad (17) \end{aligned}$$

Заметим, что в выражении (16) суммирование начинается с $n = 1$ поскольку, как известно, потенциал определяется с точностью до произвольной функции времени, что позволяет принять $D_0^{(m)} = 0$.

Функцию, описывающую отклонение формы поверхности капли от сферической в произвольный момент времени, представим в виде разложения по полиномам Лежандра

$$\begin{aligned} \xi^{(m)}(\vartheta, T_0, T_1, T_2) = \\ = \sum_{n=0}^{\infty} M_n^{(m)}(T_0, T_1, T_2) P_n(\cos \vartheta); \quad m = 1, 2, 3. \quad (18) \end{aligned}$$

Подстановка выражений (16)–(18) в уравнения (1А)–(9А) позволяет определить явные зависимости величин первого порядка малости от T_0 .

$$M_n^{(1)}(T_0, T_1, T_2) = a_n^{(1)}(T_1, T_2) \cos(\omega_n T_0 + \tau_n^{(1)}(T_1, T_2)); \quad (19)$$

$$D_n^{(1)}(T_0, T_1, T_2) = \partial_{T_0} M_n^{(1)}(T_0, T_1, T_2)/n; \quad (20)$$

$$F_n^{(1)}(T_0, T_1, T_2) = Q M_n^{(1)}(T_0, T_1, T_2). \quad (21)$$

В выражении (19) амплитудный множитель $a_n^{(1)}(T_1, T_2)$ и нелинейная поправка к частоте $\tau_n^{(1)}(T_1, T_2)$ — функции, зависящие только от времен T_1 и T_2 .

При решении задачи с точностью до величин первого порядка малости по величине начальной деформации поверхности капли функции $a_n^{(1)}(T_1, T_2)$ и $\tau_n^{(1)}(T_1, T_2)$ следует считать постоянными, значения которых определяются из начальных условий (9А), и имеют вид

$$a_n^{(1)} = h_n, \quad \tau_n^{(1)} = 0, \quad n \in \Omega. \quad (22)$$

Из выражений (22) следует, что величины $a_n^{(1)}(T_1, T_2)$ отличны от нуля только когда $n \in \Omega$.

При решении задачи с точностью до величин третьего порядка малости по величине начальной деформации зависимости $a_n^{(1)}(T_1, T_2)$ и $\tau_n^{(1)}(T_1, T_2)$ от T_1 и T_2 определяются из требования обращения в ноль секулярных членов в задачах второго и третьего порядков малости соответственно, при учете начальных условий (9А).

Подставляя выражения (16)–(21) в уравнения (13А)–(18А) и исключая секулярные члены, найдем, что функции $a_n^{(1)}(T_1, T_2)$ и $\tau_n^{(1)}(T_1, T_2)$ не зависят от временного масштаба T_1 . Явные зависимости величин второго порядка малости от временного масштаба T_0 с учетом (22) можно записать в виде

$$M_0^{(2)}(T_0) = - \sum_{m \in \Omega} \frac{(a_m^{(1)})^2 \cos^2(\omega_m T_0)}{2m + 1};$$

$$M_1^{(2)}(T_0) = \sum_{m \in \Omega} \chi_m a_m^{(1)} a_{m+1}^{(1)} \cos(\omega_m T_0) \cos(\omega_{m+1} T_0);$$

$$\begin{aligned} M_n^{(2)}(T_0, T_1) = a_n^{(2)}(T_1) \cos(\omega_n T_0 + \tau_n^{(2)}(T_1)) \\ + \sum_{l, m \in \Omega} \frac{a_l^{(1)} a_m^{(1)}}{2} \left(\lambda_{lmn}^{(+)} \cos((\omega_l + \omega_m) T_0) \right. \\ \left. + \lambda_{lmn}^{(-)} \cos((\omega_l - \omega_m) T_0) \right); \quad (23) \end{aligned}$$

$$F_0^{(2)} = 0; \quad F_n^{(2)}(T_0, T_1, T_2) = Q M_n^{(2)}(T_0, T_1)$$

$$+ Q \sum_{l, m \in \Omega} l K_{lmn} a_l^{(1)} a_m^{(1)} \cos(\omega_l T_0) \cos(\omega_m T_0); \quad n \geq 1; \quad (24)$$

$$D_n^{(2)}(T_0, T_1) = \frac{1}{n} \left\{ \partial_{T_0} M_n^{(2)}(T_0, T_1) + \sum_{l, m \in \Omega} (l(l-1)K_{lmn} - \alpha_{lmn}) \right. \\ \left. \times \frac{\omega_l}{l} a_l^{(1)} a_m^{(1)} \sin(\omega_l T_0) \cos(\omega_m T_0) \right\}; \quad n \geq 1; \quad (25)$$

где $\chi_m, \lambda_{lmn}^{(+)}, \lambda_{lmn}^{(-)}, K_{lmn}, \alpha_{lmn}$ — коэффициенты, определенные в Приложении В. Выражения для $a_n^{(2)}$ и $\tau_n^{(2)}$, удовлетворяющие начальным условиям (18А), имеют вид

$$a_n^{(2)} = - \sum_{l, m \in \Omega} \frac{h_l h_m}{2} (\lambda_{lmn}^{(+)} + \lambda_{lmn}^{(-)}), \quad \tau_n^{(2)} = 0. \quad (26)$$

Подставляя (16)–(21), (23)–(25) в систему уравнений (22А)–(28А) и исключая из решений секулярные слагаемые, находим, что функция $a_n^{(1)}(T_2)$, $a_n^{(2)}(T_1)$ и $\tau_n^{(2)}(T_1)$ не зависят от временных масштабов T_1 и T_2 , и равны своим начальным значениям (22) и (26). Для функции $\tau_n^{(1)}(T_2)$ справедливо выражение

$$\tau_n^{(1)}(T_2) = T_2 b_n \\ = \frac{T_2}{2\omega_n} \left\{ \sum_{k \in \Omega} \frac{h_k^2 \Xi_n}{2(2k+1)} + \frac{h_n^2 (2(n-1)\omega_n^2 + \Xi_n)}{4(2n+1)} \right. \\ - \frac{\chi_{n-1} h_{n-1}^2}{4} (\beta_{n-1, n, 1, n-1, n}^{2(+)} + \beta_{n-1, n, 1, n-1, n}^{2(-)}) \\ - \frac{\chi_n h_n^2}{4} (\beta_{n+1, n+1, 1, n, n}^{1(-)} + \beta_{n+1, n+1, 1, n, n}^{2(+)}) \\ - \sum_{k \in \Omega} \frac{h_k^2}{4} [H_{nkkn}^{1(-)(+)} + H_{knkn}^{2(+)(+)} + H_{knkn}^{2(-)(-)} + (1 - \delta_{kn}) \\ \left. \times (H_{kkmm}^{1(-)(+)} + H_{kkmm}^{2(+)(+)} + H_{nkkn}^{2(-)(-)}) \right] \Big\}, \quad (27)$$

а коэффициенты разложений (16)–(18) определяются выражениями

$$M_0^{(3)}(T_0) = - \sum_{k \in \Omega} \frac{2M_k^{(2)}(T_0)}{2k+1} h_k \cos(\omega_k T_0) \\ - \sum_{k, m, l \in \Omega} \frac{K_{kml} h_k h_m h_l}{3(2l+1)} \cos(\omega_k T_0) \cos(\omega_m T_0) \cos(\omega_l T_0); \\ M_1^{(3)}(T_0) = - \frac{6}{5} M_1^{(2)}(T_0) h_2 \cos(\omega_2 T_0) \\ - 3 \sum_{m \in \Omega} \sum_{k=0}^{\infty} K_{kml} M_k^{(2)}(T_0) h_m \cos(\omega_m T_0) \\ - \sum_{g=0}^{\infty} \sum_{k, m, l \in \Omega} K_{kmg} K_{g1l} h_k h_m h_l \cos(\omega_k T_0) \\ \times \cos(\omega_m T_0) \cos(\omega_l T_0);$$

$$M_n^{(3)}(T_0) = - \sum_{k \in \Omega} \frac{h_n h_k^2 (2(n-1)\omega_n \omega_k - \Xi_n)}{16(2k+1)\omega_k (\omega_n + \omega_k)} \\ \times (\cos((\omega_n + 2\omega_k)T_0) - \cos(\omega_n T_0)) \\ - \sum_{k \in \Omega} \frac{h_n h_k^2 (1 - \delta_{nk}) (2(n-1)\omega_n \omega_k + \Xi_n)}{16(2k+1)\omega_k (\omega_n - \omega_k)} \\ \times (\cos((\omega_n - 2\omega_k)T_0) + \cos(\omega_n T_0)) + \sum_{k=n-1}^{n+1} \sum_{l \in \Omega} \frac{\chi_l h_k h_l h_{l+1}}{4} \\ \times \left\{ \frac{\beta_{k, l+1, 1, l, n}^{1(+)} (\cos(\psi_{k, l, l+1}^{(+)(+)} T_0) - \cos(\omega_n T_0))}{(\omega_n^2 - (\omega_k + \omega_l + \omega_{l+1})^2)} \right. \\ + \frac{\beta_{k, l+1, 1, l, n}^{1(-)} D_{k, l+1}^{ln} (\cos(\psi_{k, l, l+1}^{(+)(-)} T_0) - \cos(\omega_n T_0))}{(\omega_n^2 - (\omega_k + \omega_l - \omega_{l+1})^2)} \\ + \frac{\beta_{k, l+1, 1, l, n}^{2(+)} D_{l, n-1}^{kl} D_{k, l+1}^{ln} (\cos(\psi_{k, l, l+1}^{(-)(-)} T_0) - \cos(\omega_n T_0))}{(\omega_n^2 - (\omega_k - \omega_l - \omega_{l+1})^2)} \\ \left. + \frac{\beta_{k, l+1, 1, l, n}^{2(-)} D_{l, n-1}^{kl} (\cos(\psi_{k, l+1, l}^{(+)(-)} T_0) - \cos(\omega_n T_0))}{(\omega_n^2 - (\omega_k - \omega_l + \omega_{l+1})^2)} \right\} \\ - \sum_{g=2}^{\infty} \sum_{k, m, l \in \Omega} \frac{h_k h_m h_l (\lambda_{lmg}^{(+)} + \lambda_{lmg}^{(-)})}{4} \\ \times \left\{ \frac{H_{kgn}^{0(+)} (\cos((\omega_k + \omega_g)T_0) - \cos(\omega_n T_0))}{\omega_n^2 - (\omega_k + \omega_g)^2} \right. \\ \left. + \frac{H_{kgn}^{0(-)} (\cos((\omega_k - \omega_g)T_0) - \cos(\omega_n T_0))}{\omega_n^2 - (\omega_k - \omega_g)^2} \right\} \\ + \sum_{k, m, l \in \Omega} \frac{h_k h_m h_l}{4} \left\{ \frac{H_{kmln}^{1(+)(-)} (\cos(\psi_{klm}^{(+)(+)} T_0) - \cos(\omega_n T_0))}{\omega_n^2 - (\omega_k + \omega_l + \omega_m)^2} \right. \\ + \frac{H_{kmln}^{1(-)(+)} D_{lm}^{kn} D_{km}^{ln} (\cos(\psi_{klm}^{(+)(-)} T_0) - \cos(\omega_n T_0))}{\omega_n^2 - (\omega_k + \omega_l - \omega_m)^2} \\ + \frac{H_{kmln}^{2(+)(+)} D_{kl}^{mn} D_{km}^{ln} (\cos(\psi_{klm}^{(-)(-)} T_0) - \cos(\omega_n T_0))}{\omega_n^2 - (\omega_k - \omega_l - \omega_m)^2} \\ \left. + \frac{H_{kmln}^{2(-)(-)} D_{kl}^{mn} D_{ml}^{kn} (\cos(\psi_{klm}^{(+)(-)} T_0) - \cos(\omega_n T_0))}{\omega_n^2 - (\omega_k - \omega_l + \omega_m)^2} \right\}; \quad (28) \\ F_0^{(3)}(T_0) = Q \sum_{k, m, l \in \Omega} \frac{k+1}{2l+l} \left(\alpha_{kml} - \frac{k(k+1)}{2} K_{kml} \right) \\ \times h_k h_m h_l \cos(\omega_k T_0) \cos(\omega_m T_0) \cos(\omega_l T_0); \\ F_n^{(3)}(T_0) = Q M_n^{(3)}(T_0) + \sum_{m \in \Omega} \sum_{k=1}^{\infty} (k+1) K_{kmn} F_k^{(2)}(T_0) \\ \times h_m \cos(\omega_m T_0) + Q \sum_{k \in \Omega} \sum_{m=0}^{\infty} (k-1) K_{kmn} M_m^{(2)}(T_0) \\ \times h_k \cos(\omega_k T_0) - Q \sum_{g=0}^{\infty} \sum_{k, m, l \in \Omega} \frac{k(k+3)}{2} K_{kmg} K_{gln} \\ \times h_k h_m h_l \cos(\omega_k T_0) \cos(\omega_m T_0) \cos(\omega_l T_0); \quad n \geq 1; \quad (29)$$

$$\begin{aligned}
 D_n^{(3)}(T_0, T_2) &= \frac{1}{n} \partial_{T_0} M_n^{(3)}(T_0) - \frac{1 - \delta_{1n}}{n} h_n b_n \sin(\omega_n T_0) \\
 &- \frac{1}{n} \sum_{m \in \Omega} \sum_{k=1}^{\infty} (k(k-1) K_{kmn} - \alpha_{kmn}) D_k^{(2)}(T_0) h_m \cos(\omega_m T_0) \\
 &+ \frac{1}{n} \sum_{k \in \Omega} \sum_{m=0}^{\infty} (k(k-1) - \alpha_{kmn}) M_m^{(2)}(T_0) \omega_k h_k \sin(\omega_k T_0) \\
 &+ \frac{1}{n} \sum_{k,m,l \in \Omega} \sum_{g=0}^{\infty} \left(\frac{k(k-1)}{2} K_{kmg} - \alpha_{kmg} \right) (k-2) K_{gln} \omega_k \\
 &\times h_k h_m h_l \sin(\omega_k T_0) \cos(\omega_m T_0) \cos(\omega_l T_0); \quad n \geq 1, \quad (30)
 \end{aligned}$$

где $\Xi_n, \beta_{kmgln}^{1(\pm)}, \beta_{kmgln}^{2(\pm)}, H_{kgn}^{0(\pm)}, H_{kmln}^{1(\pm)(\pm)}, H_{kmln}^{2(\pm)(\pm)}, \psi_{kml}^{(\pm)(\pm)}, D_{lm}^{kn}$ — коэффициенты, вынесенные в „Приложение В“, δ_{kn} — символ Кронекера.

Подставляя (18) в (1), найдем выражение для образующей капли в виде

$$\begin{aligned}
 r(\vartheta, T_0, T_2) &= 1 + \varepsilon \sum_{m \in \Omega} M_n^{(1)}(T_0, T_2) P_n(\cos \vartheta) \\
 &+ \varepsilon^2 \sum_{n=0}^{\infty} (M_n^{(2)}(T_0) + \varepsilon M_n^{(3)}(T_0)) P_n(\cos \vartheta). \quad (31)
 \end{aligned}$$

4. Для анализа выражения (31) заметим, что амплитуды отклонения поверхности капли от равновесной сферической формы пропорциональны следующим выражениям (см. выражения (23) и (28)):

$$M_g^{(2)} \sim \sum_{k,m \in \Omega} K_{kmg}, \quad M_n^{(3)} \sim \sum_{g=0}^{\infty} \sum_{k,m,l \in \Omega} K_{kmg} K_{gln},$$

где коэффициенты K_{kmg} отличны от нуля, только если $|k-m| \leq g \leq |k+m|$ и $k+m+g$ — четное число.

Таким образом, если изначально возбуждается только одна мода, т.е. $\Omega = \{n_1\}$, то во втором порядке малости возбуждаются только четные моды с номерами из диапазона $0 \leq g \leq 2n_1$, а в третьем порядке при четном n_1 возбуждаются четные моды из диапазона $0 \leq n \leq 3n_1$, а при нечетном n_1 возбуждаются нечетные моды из диапазона $1 \leq n \leq 3n_1$. Таким образом, при четном n_1 поверхность капли формируется четными модами из диапазона $[0, 3n_1]$, а при нечетном n_1 — всеми модами из диапазона $[0, 2n_1]$ и нечетными из диапазона $[2n_1 + 1, 3n_1]$.

Если изначально возбуждаются две моды с номерами n_1 и n_2 , т.е. $\Omega = \{n_1, n_2\}$, то множество мод вовлеченных в формирование поверхности капли еще более расширяется.

Так если n_1 и n_2 — четные числа, то спектр мод второго порядка содержит только четные моды с индексами из диапазона $0 \leq g \leq \max\{2n_1, 2n_2\}$, а спектр третьего порядка формируется четными модами из диапазона $0 \leq n \leq \max\{3n_1, 3n_2\}$, т.е. суммарная поверхность капли формируется четными модами из диапазона $[0, \max\{3n_1, 3n_2\}]$.

Если номера изначально возбужденных мод n_1 и n_2 являются нечетными, то во втором порядке малости возбуждаются четные моды с номерами из диапазона $0 \leq g \leq \max\{2n_1, 2n_2\}$, а в третьем порядке малости участвуют в формировании поверхности только нечетные моды с номерами, удовлетворяющими условию $1 \leq n \leq \max\{3n_1, 3n_2\}$; т.е. поверхность формируется всеми модами из диапазона $[0, \max\{2n_1, 2n_2\}]$ и нечетными с номерами из промежутка $[\max\{2n_1 + 1, 2n_2 + 1\}, \max\{3n_1, 3n_2\}]$.

Если же номера изначально возбужденных мод таковы, что n_1 четное, а n_2 нечетное, то спектр второго порядка малости содержит моды с четными номерами из диапазона $0 \leq g \leq \max\{2n_1, 2n_2\}$ и нечетные с номерами $|n_1 - n_2| \leq g \leq n_1 + n_2$. Спектр же третьего порядка малости содержит четные моды с номерами из диапазона $0 \leq n \leq \max\{3n_1, n_1 + 2n_2\}$ и нечетные с номерами $1 \leq n \leq \max\{3n_2, 2n_1 + n_2\}$. В итоге суммарная поверхность капли формируется четными модами из диапазона $[0, \max\{3n_1, n_1 + 2n_2\}]$ и нечетными с номерами из промежутка $[1, \max\{3n_2, 2n_1 + n_2\}]$. Видно, что учет величин третьего порядка малости по величине начальной деформации приводит к существенному расширению спектра мод, вовлеченных в формирование поверхности капли.

Учет величин третьего порядка малости приводит к нелинейному сдвигу частот изначально возбужденных мод, пропорциональному квадрату амплитуды начальной деформации ε^2 . Знак поправки к частоте всегда отрицателен, а ее величина существенно зависит от спектра мод, вовлеченных в формирование поверхности капли в начальный момент времени, и от величины заряда капли. Так, если изначально возбуждаются две моды, одна из которых основная $n = 2$, то наблюдается увеличение поправок к частотам по сравнению с ситуацией одномодовой начальной деформации поверхности капли, исследованной в [4]. На рис. 1 приведены зависимости поправок к частотам различных пар мод, возбужденных в начальный момент времени, от величины безразмерного параметра W . Видно, что величина поправки к частоте основной моды зависит от того, какая из мод возбуждается вместе с ней в начальный момент времени: с ростом номера моды, возбуждающейся одновременно с основной, величина поправки к частоте основной моды увеличивается. Если вспомнить, что критические условия реализации неустойчивости капли определяются требованием перехода с ростом параметра W квадрата частоты основной моды через нуль [3,9], то становится ясно, что учет нелинейной поправки к частоте основной моды приводит к снижению критического значения параметра W в соответствии с выражением [9] $\omega_2^2 + 2 \cdot \varepsilon^2 \cdot b_2 = 0$. Вытекающая из этого соотношения нелинейная поправка к критическим условиям реализации неустойчивости капли тем заметнее, чем более высокая мода возбуждается в начальный момент времени одновременно с основной.

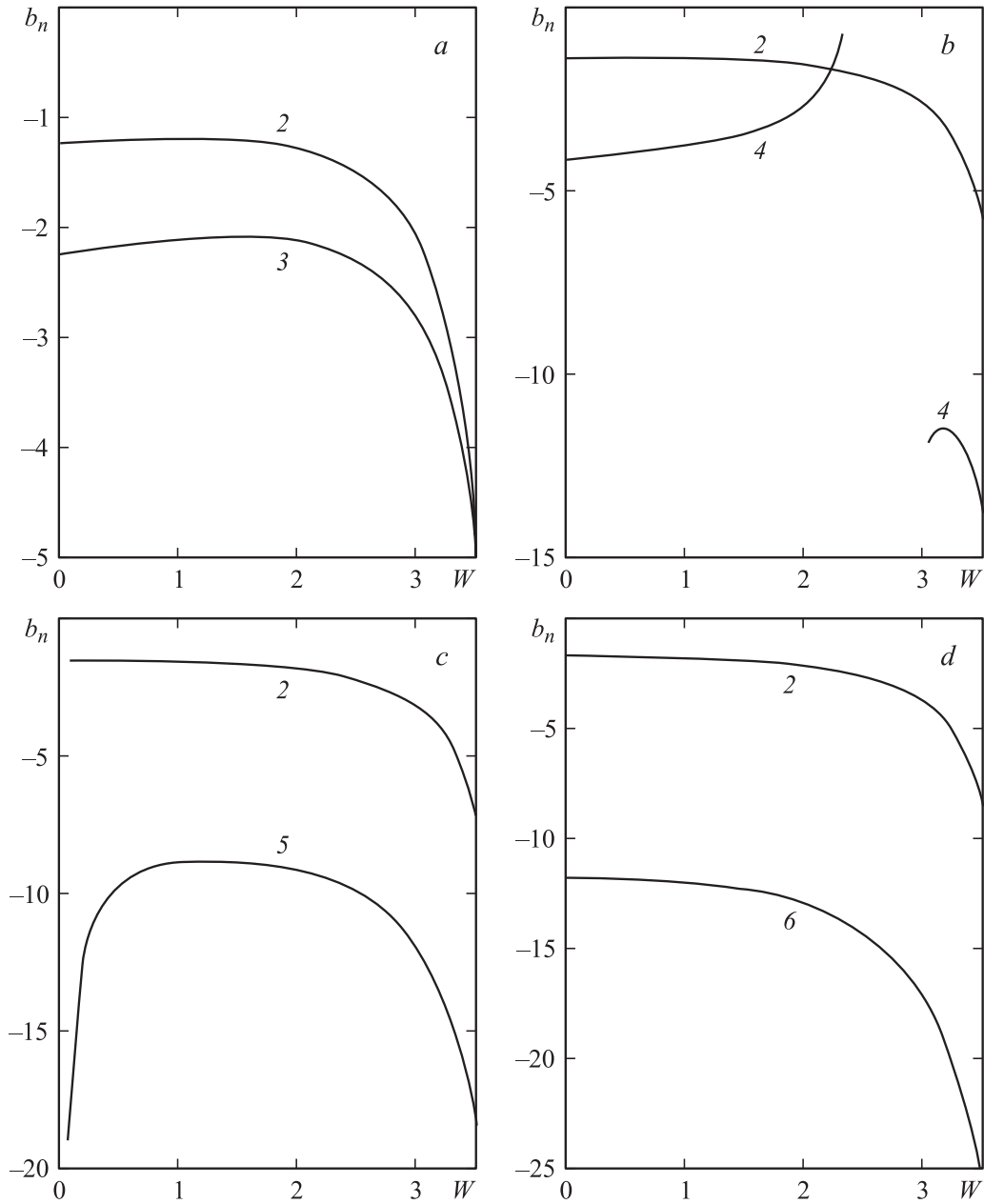


Рис. 1. Зависимости коэффициента b_n от параметра Рэлея $W = Q^2/4\pi$ при начальном возбуждении различных пар мод. *a* — начальная деформация определена второй и третьей модами, *b* — начальная деформация определена второй и четвертой модами, *c* — начальная деформация определена второй и пятой модами, *d* — начальная деформация определена второй и шестой модами. Номер кривой совпадает с номером изначально возбужденной моды.

Разрыв кривой, соответствующей поправке к частоте четвертой моды, на рис. 1, *b* связан с внутренним нелинейным резонансным взаимодействием между четвертой и шестой модами [4,8,9].

Численный анализ выражения (31) указывает на то, что наибольшим отклонениям от равновесного состояния подвергаются элементы поверхности капли, располагающиеся в окрестности оси симметрии (рис. 2,3). Это связано с тем, что только при углах ϑ , близких к $\vartheta = 0$ и $\vartheta = \pi$, наблюдается суммирование колебаний

отдельных мод. Вдали от этих значений ϑ формируется более гладкая волнообразная поверхность. Указанная тенденция тем выше, чем больше значение номеров изначально возбужденных мод.

Напряженность электростатического поля на свободной поверхности капли определяется выражением

$$E = E_n^{(0)} + \varepsilon \sum_{m \in \Omega} E_n^{(1)} P_n(\cos \vartheta) + \varepsilon^2 \sum_{n=0}^{\infty} (E_n^{(2)} + \varepsilon E_n^{(3)}) P_n(\cos \vartheta); \quad (32)$$

$$\begin{aligned}
 E_n^{(0)} &= Q = 2\sqrt{\pi W}; & E_n^{(1)} &= Q(n-1)M_n^{(1)}; \\
 E_n^{(2)} &= (n+1)F_n^{(2)} - 2QM_n^{(2)} \\
 &+ Q \sum_{k,m \in \Omega} [(3-(m+1)(m+2))K_{kmm} \\
 &+ \alpha_{kmm}/2] h_k h_m \cos(\omega_k T_0) \cos(\omega_m T_0); \\
 E_n^{(3)} &= (n+1)F_n^{(3)} - 2QM_n^{(3)} + \sum_{\substack{k \in \Omega \\ m=0}}^{\infty} (\alpha_{kmm} - (m+1) \\
 &\times (m+2)K_{kmm}) h_k \cos(\omega_k T_0) F_m^{(2)} - Q \sum_{\substack{m=0 \\ k \in \Omega}}^{\infty} (k+4)(k-1) \\
 &\times K_{kmm} h_k \cos(\omega_k T_0) M_m^{(2)} + Q \sum_{\substack{g=0 \\ k,m,n \in \Omega}}^{\infty} [((k+1)(k+2) \\
 &\times (k+3)/2 - 4)K_{kmg} - ((l+1)/2 + k+l)\alpha_{kmg}] K_{gln} \\
 &\times h_k h_m h_l \cos(\omega_k T_0) \cos(\omega_m T_0) \cos(\omega_l T_0).
 \end{aligned}$$

Согласно данным расчетов по (32), напряженность поля собственного заряда в окрестности нелинейно осциллирующей капли существенно возрастает на полюсах капли при ее вытягивании (см. рис. 4,5), что может привести к зажиганию у поверхности капли коронного разряда. Это обстоятельство представляет интерес в связи проблемой инициирования разряда молнии [14,15]. Согласно существующим представлениям разряд, молнии может начаться с коронного разряда в окрестности падающей в облаке обводненной градины или крупной капли. Признанию такого механизма инициирования разряда молнии препятствует то, что собственные заряды капель, регистрируемые при натурных измерениях в грозовых облаках, слишком малы для того, чтобы коронный разряд мог зажечься в окрестности невозмущенной

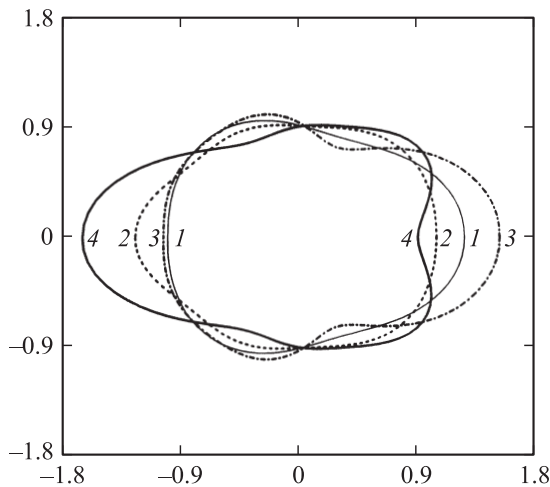


Рис. 2. Контур образующей капли при начальном возбуждении второй и третьей мод для $\epsilon = 0.3$, $W = 3.7$, $h_2 = h_3 = 0.5$; $t = 0$ (1), 1 (2), 3 (3), 4 (4).

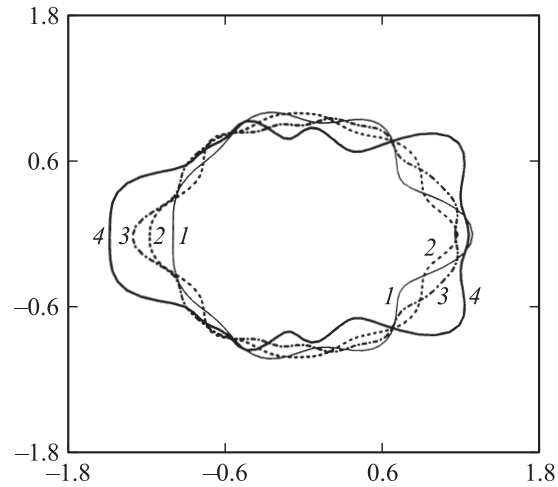


Рис. 3. Контур образующей капли при начальном возбуждении шестой и седьмой мод для $\epsilon = 0.3$, $W = 3.4$, $h_6 = h_7 = 0.5$; $t = 0$ (1), 0.5 (2), 1 (3), 2 (4).

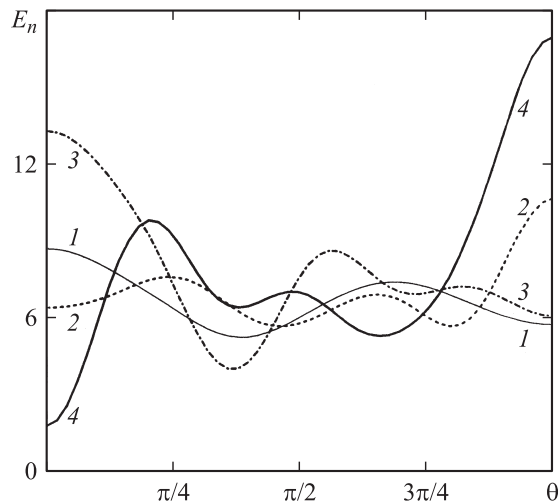


Рис. 4. Зависимость напряженности электрического поля у поверхности капли E от полярного угла ϑ при тех же значениях параметров, что и на рис. 2.

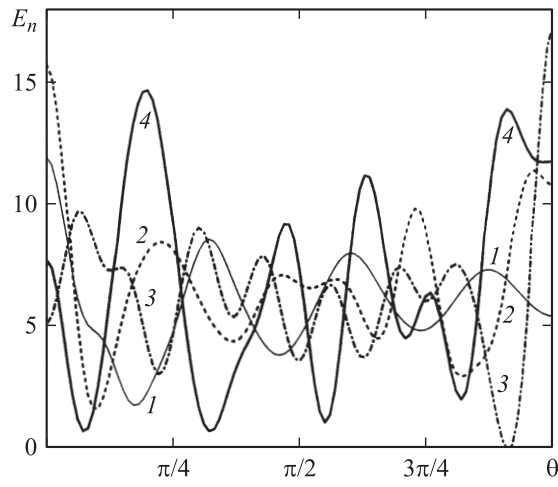


Рис. 5. Зависимость напряженности электрического поля у поверхности капли E от полярного угла ϑ при тех же значениях параметров, что и на рис. 3.

Резонансные комбинации номеров мод и величины параметра Рэлея

n	l	k	m	W
2	20	8	17	1.98141
2	29	12	24	1.39884
2	30	17	21	0.460245
2	9	6	6	0.0460245
2	17	11	11	1.35905
2	25	16	16	1.42339
2	28	18	18	2.9609
3	23	15	15	2.18618
3	28	18	18	0.450789
4	26	17	17	0.577818

капли [16]. Обнаруженный факт значительного усиления электростатического поля у вершин нелинейно осциллирующей капли позволяет посмотреть на обсуждаемую проблему с новых позиций.

Расчеты, приведенные на рис. 2–5, выполнены для случая отсутствия резонансного взаимодействия мод, которое требует отдельного детального рассмотрения [17]. Тем не менее возможность резонансного обмена энергией между модами существует.

Из выражений (28) для нелинейных поправок третьего порядка малости к амплитудам осцилляций $M_n^{(3)}(t)$ несложно видеть, что они имеют резонансный вид: содержат знаменатели, обращающиеся при определенных условиях в нуль. Все новые по сравнению с квадратичным приближением [4,8,9] резонансы соответствуют четырехмодовому взаимодействию капиллярных осцилляций капли, когда частоты резонансно взаимодействующих мод связаны друг с другом одним из соотношений

$$\omega_n \pm \omega_k \pm \omega_l \pm \omega_m = 0.$$

Среди множества реализующихся в заряженной капле внутренних нелинейных резонансов наибольший интерес в связи с проблемой иницирования разряда молнии в грозовых облаках [14,15] представляют такие, в которых основная мода ($n = 2$) увеличивает свою амплитуду за счет перекачки энергии из более высоких мод при докритических в смысле устойчивости по отношению к собственному заряду значениях параметра Рэлея $W < 4$. Согласно данным расчетов, проведенных во втором порядке малости [6,8,17,18], когда реализуются только трехмодовые резонансы, наименьшая мода, способная приобретать энергию у высоких мод за счет резонансного взаимодействия есть третья. В расчетах третьего порядка малости, когда реализуется четырехмодовое взаимодействие появляется возможность резонансной раскачки и второй моды. Так, если ограничиться условиями

$$\omega_n + \omega_k - \omega_l - \omega_m = 0; \quad W \leq 4,$$

то в диапазоне номеров мод $2 \leq n, k, l, m \leq 30$ реализуются более десятка резонансных четырехмодовых

ситуаций, в семи из которых участвует вторая мода. Первые десять из возможных четырехмодовых резонансов приведены в таблице, из которой видно, что первые три резонанса являются истинно четырехмодовыми, а остальные вырожденными, когда в рамках четырехмодового взаимодействия одна из мод участвует дважды.

Заключение

Учет величин третьего порядка малости по амплитуде начальной многомодовой деформации капли позволяет получить нелинейные поправки к частотам капиллярных колебаний капли, которые существенно зависят от величины заряда капли и от спектра изначально возбужденных мод и приводят к появлению нелинейных поправок к критическому для реализации неустойчивости капли значению параметра Рэлея. Учет величин третьего порядка малости по амплитуде начальной многомодовой деформации при расчете образующей нелинейно осциллирующей капли позволяет проследить тенденцию к вытягиванию капли вдоль оси симметрии. Это косвенно указывает на то, что эмиссионные выступы капли формируются наложением большого числа высоких мод [19].

ПРИЛОЖЕНИЕ А. Выделение задач различного порядка малости

После подстановки разложений (13)–(15) в систему уравнений (1)–(12), выделяя слагаемые пропорциональные ε^1 , несложно получить задачу первого порядка малости

$$\Delta \Psi^{(1)} = 0; \quad \Delta \phi^{(1)} = 0; \quad (1A)$$

$$r \rightarrow 0: \quad \psi^{(1)} \rightarrow 0; \quad (2A)$$

$$r \rightarrow +\infty: \quad \nabla \phi^{(1)} \rightarrow 0; \quad (3A)$$

$$r = 1: \quad \partial_{T_0} \xi^{(1)} = \partial_r \psi^{(1)}; \quad (4A)$$

$$\partial_{T_0} \psi^{(1)} = \frac{1}{4\pi} \partial_r \phi^{(0)} (\partial_r \phi^{(1)} + \xi^{(1)} \partial_{rr} \phi^{(0)}) + 2\xi^{(1)} + \Delta \Omega \xi^{(1)}; \quad (5A)$$

$$\int_{-1}^1 \xi^{(1)} d(\cos \vartheta) = 0; \quad \int_{-1}^1 \xi^{(1)} P_1 d(\cos \vartheta) = 0; \quad (6A)$$

$$\int_{-1}^1 \{ \partial_r \phi^{(1)} + \xi^{(1)} (\partial_{rr} \phi^{(0)} + 2\partial_r \phi^{(0)}) \} d(\cos \vartheta) = 0; \quad (7A)$$

$$\phi^{(1)} + \xi^{(1)} \partial_r \phi^{(0)} = \phi_S^{(1)}(t); \quad (8A)$$

$$t = 0: \quad \xi^{(1)} = \varepsilon \sum_{m \in \Omega} h_m P_m(\cos \vartheta); \quad \partial_{T_0} \xi^{(1)} = 0. \quad (9A)$$

Слагаемые, пропорциональные ε^2 , определяют задачу второго порядка малости, которая имеет вид

$$\Delta\psi^{(2)} = 0; \quad \Delta\phi^{(2)} = 0; \quad (10A)$$

$$r \rightarrow 0: \quad \psi^{(2)} \rightarrow 0; \quad (11A)$$

$$r \rightarrow +\infty: \quad \nabla\phi^{(2)} \rightarrow 0; \quad (12A)$$

$r = 1$:

$$\partial_{T_0}\xi^{(2)} + \partial_{T_1}\xi^{(1)} = \partial_r\psi^{(2)} + \xi^{(1)}\partial_{rr}\psi^{(1)} - \partial_{\vartheta}\xi^{(1)}\partial_{\vartheta}\psi^{(1)}; \quad (13A)$$

$$\begin{aligned} &\partial_{T_0}\psi^{(2)} + \partial_{T_1}\psi^{(1)} + \xi^{(1)}\partial_{rT_0}\psi^{(1)} + \frac{1}{2}(\partial_r\psi^{(1)})^2 \\ &+ \frac{1}{2}(\partial_{\vartheta}\psi^{(1)})^2 = \frac{1}{8\pi}\{2\xi^{(2)}\partial_r\phi^{(0)}\partial_{rr}\phi^{(0)} \\ &+ (\xi^{(1)})^2((\partial_{rr}\phi^{(0)})^2 + \partial_{rrr}\phi^{(0)}\partial_r\phi^{(0)}) \\ &+ (\partial_{\vartheta}\phi^{(1)})^2 + (\partial_r\phi^{(1)})^2 + 2\partial_r\phi^{(2)}\partial_r\phi^{(0)} \\ &+ 2\xi^{(1)}(\partial_{rr}\phi^{(0)}\partial_r\phi^{(1)} + \partial_{rr}\phi^{(1)}\partial_r\phi^{(0)})\} \\ &+ 2\xi^{(2)} + \Delta_{\Omega}\xi^{(2)} - 2(\xi^{(1)})^2 - 2\xi^{(1)}\Delta_{\Omega}\xi^{(1)}; \quad (14A) \end{aligned}$$

$$\begin{aligned} &\int_{-1}^1 (\xi^{(2)} + (\xi^{(1)})^2) d(\cos\vartheta) = 0; \\ &\int_{-1}^1 (2\xi^{(2)} + 3(\xi^{(1)})^2) P_1 d(\cos\vartheta) = 0; \quad (15A) \end{aligned}$$

$$\begin{aligned} &\int_{-1}^1 \left\{ \partial_r\phi^{(2)} + \xi^{(1)}(\partial_{rr}\phi^{(1)} + 2\partial_r\phi^{(1)}) + \xi^{(2)}(\partial_{rr}\phi^{(0)} + 2\partial_r\phi^{(0)}) \right. \\ &+ (\xi^{(1)})^2 \left(\frac{1}{2}\partial_{rrr}\phi^{(0)} + 2\partial_{rr}\phi^{(0)} + \partial_r\phi^{(0)} \right) - \partial_{\vartheta}\xi^{(1)}\partial_{\vartheta}\phi^{(1)} \left. \right\} \\ &\times d(\cos\vartheta) = 0; \quad (16A) \end{aligned}$$

$$\phi^{(2)} + \xi^{(1)}\partial_r\phi^{(1)} + \xi^{(2)}\partial_r\phi^{(0)} + \frac{1}{2}(\xi^{(1)})^2\partial_{rr}\phi^{(0)} = \phi_S^{(2)}(t); \quad (17A)$$

$t = 0$:

$$\xi^{(2)} = -\sum_{m \in \Omega} \frac{h_m P_0(\cos\vartheta)}{2m+1} - \frac{3}{2} \sum_{l, m \in \Omega} h_l h_m K_{lm} P_1(\cos\vartheta);$$

$$\partial_{T_0}\xi^{(2)} + \partial_{T_1}\xi^{(1)} = 0. \quad (18A)$$

Задача третьего порядка малости определяется слагаемыми, пропорциональными ε^3 , и имеет вид

$$\Delta\psi^{(3)} = 0; \quad \Delta\phi^{(3)} = 0; \quad (19A)$$

$$r \rightarrow 0: \quad \psi^{(3)} \rightarrow 0; \quad (20A)$$

$$r \rightarrow +\infty: \quad \nabla\phi^{(3)} \rightarrow 0; \quad (21A)$$

$r = 1$:

$$\begin{aligned} &\partial_{T_0}\xi^{(3)} + \partial_{T_1}\xi^{(2)} + \partial_{T_2}\xi^{(1)} = \partial_r\psi^{(3)} - \partial_{\vartheta}\xi^{(2)}\partial_{\vartheta}\psi^{(1)} \\ &- \partial_{\vartheta}\xi^{(1)}\partial_{\vartheta}\psi^{(2)} + \xi^{(2)}\partial_{rr}\psi^{(1)} + \xi^{(1)}(\partial_{\vartheta}\xi^{(1)}(2\partial_{\vartheta}\psi^{(1)} \\ &- \partial_{r\vartheta}\psi^{(1)}) + \partial_{rr}\psi^{(2)} + \frac{1}{2}(\xi^{(1)})^2\partial_{rrr}\psi^{(1)}; \quad (22A) \end{aligned}$$

$$\begin{aligned} &\partial_{T_0}\psi^{(3)} + \partial_{T_2}\psi^{(1)} + \partial_{T_1}\psi^{(2)} + \xi^{(1)}\partial_{rT_1}\psi^{(1)} + \partial_{\vartheta}\psi^{(1)}\partial_{\vartheta}\psi^{(2)} \\ &+ \partial_r\psi^{(1)}\partial_r\psi^{(2)} + \xi^{(2)}\partial_{rT_0}\psi^{(1)} + \xi^{(1)}(\partial_{rT_0}\psi^{(2)} \\ &+ \partial_{\vartheta}\psi^{(1)}(\partial_{r\vartheta}\psi^{(1)} - \partial_{\vartheta}\psi^{(1)}) + \partial_r\psi^{(1)}\partial_{rr}\psi^{(1)}) \\ &+ \frac{1}{2}(\xi^{(1)})^2\partial_{rrT_0}\psi^{(1)} = \frac{1}{8\pi}\{2\xi^{(3)}\partial_r\phi^{(0)}\partial_{rr}\phi^{(0)} \\ &+ (\xi^{(1)})^3(\partial_{rr}\phi^{(0)}\partial_{rrr}\phi^{(0)} + \frac{1}{3}\partial_r\phi^{(0)}\partial_{rrr}\phi^{(0)}) \\ &+ 2(\partial_{\vartheta}\phi^{(1)}\partial_{\vartheta}\phi^{(2)} + \partial_r\phi^{(1)}(\xi^{(2)}\partial_{rr}\phi^{(0)} + \partial_r\phi^{(2)}) \\ &+ \partial_r\phi^{(0)}\partial_r\phi^{(3)} + \xi^{(2)}\partial_r\phi^{(0)}\partial_{rr}\phi^{(1)}) \\ &+ 2\xi^{(1)}(\xi^{(2)}((\partial_{rr}\phi^{(0)})^2 + \partial_r\phi^{(0)}\partial_{rrr}\phi^{(0)}) + \partial_{rr}\phi^{(0)}\partial_r\phi^{(2)} \\ &+ \partial_{\vartheta}\phi^{(1)}(\partial_{r\vartheta}\phi^{(1)} - \partial_{\vartheta}\phi^{(1)}) + \partial_r\phi^{(1)}\partial_{rr}\phi^{(1)} \\ &+ \partial_r\phi^{(0)}\partial_{rr}\phi^{(2)}) + (\xi^{(1)})^2(\partial_{rrr}\phi^{(0)}\partial_r\phi^{(1)} + 2\partial_{rr}\phi^{(0)}\partial_{rr}\phi^{(1)} \\ &+ \partial_r\phi^{(0)}\partial_{rrr}\phi^{(1)})\} + (2 + \Delta_{\Omega})\xi^{(3)} + 2\xi^{(1)}((\xi^{(1)})^2 \\ &- (2 + \Delta_{\Omega})\xi^{(2)}) - 2\xi^{(2)}\Delta_{\Omega}\xi^{(1)} + 3(\xi^{(1)})^2\Delta_{\Omega}\xi^{(1)} \\ &- (\partial_{\vartheta}\xi^{(1)})^2\partial_{\vartheta}\xi^{(1)} - \frac{1}{2}(\partial_{\vartheta}\xi^{(1)})^2\Delta_{\Omega}\xi^{(1)}; \quad (23A) \end{aligned}$$

$$\int_{-1}^1 (3\xi^{(3)} + 6\xi^{(1)}\xi^{(2)} + (\xi^{(1)})^3) d(\cos\vartheta) = 0; \quad (24A)$$

$$\int_{-1}^1 (\xi^{(3)} + 3\xi^{(1)}\xi^{(2)} + (\xi^{(1)})^3) P_1(\cos\vartheta) d(\cos\vartheta) = 0; \quad (25A)$$

$$\begin{aligned}
& \int_{-1}^1 \left\{ \partial_r \phi^{(3)} + \xi^{(3)} (\partial_{rr} \phi^{(0)} + 2\partial_r \phi^{(0)}) + \xi^{(2)} (\partial_{rr} \phi^{(1)} + 2\partial_r \phi^{(1)}) \right. \\
& + (\xi^{(1)})^3 \left(\frac{1}{6} \partial_{rrrr} \phi^{(0)} + \partial_{rrr} \phi^{(0)} + \partial_{rr} \phi^{(0)} \right) \\
& + (\xi^{(1)})^2 \left(\frac{1}{2} \partial_{rrr} \phi^{(1)} + 2\partial_{rr} \phi^{(1)} + \partial_r \phi^{(1)} \right) \\
& + \xi^{(1)} \left(\xi^{(2)} (\partial_{rrr} \phi^{(0)} + 4\partial_{rr} \phi^{(0)} + 2\partial_r \phi^{(0)}) + 2\partial_r \phi^{(2)} \right) \\
& + \partial_{rr} \phi^{(2)} - \partial_{\vartheta} \xi^{(1)} \partial_{r\vartheta} \phi^{(1)} \left. \right\} d(\cos \vartheta) = 0; \quad (26A)
\end{aligned}$$

$$\begin{aligned}
& \phi^{(3)} + \xi^{(1)} \partial_r \phi^{(2)} + \xi^{(2)} \partial_r \phi^{(1)} + \xi^{(3)} \partial_r \phi^{(0)} + \frac{1}{2} (\xi^{(1)})^2 \partial_{rr} \phi^{(1)} \\
& + \xi^{(1)} \xi^{(2)} \partial_{rr} \phi^{(0)} + \frac{1}{6} (\xi^{(1)})^3 \partial_{rrr} \phi^{(0)} = \phi_S^{(3)}(t); \quad (27A)
\end{aligned}$$

$$\begin{aligned}
t = 0: \quad \xi^{(3)} = & - \sum_{k,m,l \in \Omega} \frac{h_k h_m h_l}{3(2l+1)} K_{kml} P_0(\cos \vartheta) \\
& - \left(\frac{9}{5} h_2 \sum_{k,m \in \Omega} h_k h_m K_{kml} + \sum_{g=0}^{\infty} \sum_{k,m,l \in \Omega} h_k h_m h_l K_{kmg} K_{gl1} \right) \\
& \times P_1(\cos \vartheta); \\
& \partial_{T_0} \xi^{(3)} + \partial_{T_1} \xi^{(2)} + \partial_{T_2} \xi^{(1)} = 0; \quad (28A)
\end{aligned}$$

где $K_{mnl} = (C_{m0l0}^n)^2$, а C_{m0l0}^n — коэффициенты Клебша-Гордана [20].

ПРИЛОЖЕНИЕ В. Выражения для коэффициентов задачи

$$\begin{aligned}
H_{kmln}^{1(+)(-)} &= \sum_{g=2}^{\infty} \beta_{kmgln}^{1(+)} \lambda_{lmg}^{(+)} + \sum_{g=1}^{\infty} \mu_{kmgln}^{1(-)} + \sum_{g=0}^{\infty} \mu_{kmgln}^{0(-)}; \\
H_{kmln}^{1(-)(+)} &= \sum_{g=2}^{\infty} \beta_{kmgln}^{1(-)} \lambda_{lmg}^{(-)} + \sum_{g=1}^{\infty} \mu_{kmgln}^{1(+)} + \sum_{g=0}^{\infty} \mu_{kmgln}^{0(+)}; \\
H_{kmln}^{2(+)(+)} &= \sum_{g=2}^{\infty} \beta_{kmgln}^{2(+)} \lambda_{lmg}^{(+)} + \sum_{g=1}^{\infty} \mu_{kmgln}^{1(+)} + \sum_{g=0}^{\infty} \mu_{kmgln}^{0(+)}; \\
H_{kmln}^{2(-)(-)} &= \sum_{g=2}^{\infty} \beta_{kmgln}^{2(-)} \lambda_{lmg}^{(-)} + \sum_{g=1}^{\infty} \mu_{kmgln}^{1(-)} + \sum_{g=0}^{\infty} \mu_{kmgln}^{0(-)}; \\
H_{mgn}^{0(+)} &= (\Pi_{mgn}^0 - \Pi_{mgn}^1 \omega_m \omega_g - \Pi_{mgn}^2 \omega_g^2) (\lambda_{nmg}^{(+)} + \lambda_{nmg}^{(-)}); \\
H_{mgn}^{0(-)} &= (\Pi_{mgn}^0 + \Pi_{mgn}^1 \omega_m \omega_g - \Pi_{mgn}^2 \omega_g^2) (\lambda_{nmg}^{(+)} + \lambda_{nmg}^{(-)});
\end{aligned}$$

$$\begin{aligned}
\beta_{kmgln}^{1(+)} &= \Pi_{kgn}^0 - \Pi_{kgn}^1 \omega_k (\omega_l + \omega_m) - \Pi_{kgn}^2 (\omega_l + \omega_m)^2; \\
\beta_{kmgln}^{1(-)} &= \Pi_{kgn}^0 - \Pi_{kgn}^1 \omega_k (\omega_l - \omega_m) - \Pi_{kgn}^2 (\omega_l - \omega_m)^2; \\
\beta_{kmgln}^{2(+)} &= \Pi_{kgn}^0 + \Pi_{kgn}^1 \omega_k (\omega_l + \omega_m) - \Pi_{kgn}^2 (\omega_l + \omega_m)^2; \\
\beta_{kmgln}^{2(-)} &= \Pi_{kgn}^0 + \Pi_{kgn}^1 \omega_k (\omega_l - \omega_m) - \Pi_{kgn}^2 (\omega_l - \omega_m)^2; \\
\mu_{kmgln}^{1(-)} &= \Lambda_{kmgln}^1 - \Gamma_{kmgln}^1 \omega_m \omega_k; \\
\mu_{kmgln}^{1(+)} &= \Lambda_{kmgln}^1 + \Gamma_{kmgln}^1 \omega_m \omega_k; \\
\mu_{kmgln}^{0(-)} &= \Lambda_{kmgln}^0 - \Gamma_{kmgln}^0 \omega_m \omega_k; \\
\mu_{kmgln}^{0(+)} &= \Lambda_{kmgln}^0 + \Gamma_{kmgln}^0 \omega_m \omega_k;
\end{aligned}$$

$$\begin{aligned}
\Lambda_{kmgln}^0 &= \frac{1}{2k} \left\{ K_{gln} (\alpha_{kmg} (kn(l+3l^2 - 2(k+2)W) \right. \\
& + 2(k-2)\omega_k^2) + K_{kmg} (kn(4-6k(k+1) \\
& + (k^3 - 2(m+1)(m+2) - k^2(n-9) \\
& - k(3n+2m(m+3) - 22)W) - (k-1)k(k-n-2)\omega_k^2) \left. \right\} \\
& - 2kn\alpha_{kmg} \sum_{v=1}^{[l/2]} (2l-4v+1) K_{g,l-2v,n} \left. \right\} \\
\Lambda_{kmgln}^1 &= ((g-n-1)K_{gln} - \alpha_{gln}/g) ((m-1)K_{kmg} - \alpha_{kmg}/m) \\
& \times \omega_m^2 + Wnk((g+1)(l+n-g-2)K_{gln} + \alpha_{gln}) K_{kmg}; \\
\Gamma_{kmgln}^0 &= ((k-1)(k-2(n+1))K_{kmg}/2 \\
& - ((k-1)(m+n)-m)\alpha_{kmg}/(km)) K_{gln} \\
& + ((k-1)(k-2)K_{klg}/2 - (k-2)\alpha_{klg}/k) K_{gmn}; \\
\Gamma_{kmgln}^1 &= -((g-n-1)K_{gkn} - (n+k)\alpha_{gkn}/(kg)) \\
& \times ((m-1)K_{lmg} - \alpha_{lmg}/m) - ((g-n-1)K_{gln} - \alpha_{gln}/g) \\
& \times ((m-1)K_{kmg} - \alpha_{kmg}/m); \\
\Pi_{kmn}^0 &= (\omega_k^2(n-k+1) + 2kn(k+1) + 2mn(m+1) - 4n \\
& + nW((n-k-5)(k-1) + (m+1)(k+n-m-2))) K_{kmn} \\
& + (\omega_k^2/k + nW)\alpha_{kmn}; \\
\Pi_{kmn}^1 &= (m+k-n-2)K_{kmn} - (n+k+m)\alpha_{kmn}/(mk); \\
\Pi_{kmn}^2 &= (m-n-1)K_{kmn} - \alpha_{kmn}/m; \\
\Xi_k &= \omega_k^2 + 2k^2(k+1) - 4k - 5k(k-1)W; \\
\psi_{kml}^{(+)(+)} &= \omega_k + \omega_m + \omega_l; \quad \psi_{kml}^{(+)(-)} = \omega_k + \omega_m - \omega_l; \\
\psi_{kml}^{(-)(-)} &= \omega_k - \omega_m - \omega_l; \\
\lambda_{mln}^{(\pm)} &= (\gamma_{mln} \pm \omega_m \omega_l \eta_{mln}) / (\omega_n^2 - (\omega_m \pm \omega_l)^2);
\end{aligned}$$

$$\alpha_{mln} = -C_{m0l0}^{n0} C_{m(-1)l1}^{n0} \sqrt{m(m+1)l(l+1)};$$

$$\gamma_{mln} = K_{mln} [\omega_m^2 (n-m+1) + 2n(l(l+1)-1) + (l(m+1) - m(2m-2n+7) + 3)nW/2] + \alpha_{mln} [\omega_m^2/m + nW/2];$$

$$\eta_{mln} = K_{mln}(n/2 - m + 1) + \alpha_{mln}(1 + n/(2l))/m;$$

$$D_{lm}^{kn} = 1 - \delta_{lm}\delta_{kn}.$$

Работа выполнена при поддержке гранта РФФФИ (№ 03-01-00760).

Список литературы

- [1] *Bailey A.G.* // *Atomisation and Spray Technology*. 1986. Vol. 2. P. 95–134.
- [2] *Дудников В.Г., Шабалин А.Л.* Препринт ИЯФ СО АН СССР. № 87–63. Новосибирск, 1987. 66 с.
- [3] *Григорьев А.И., Ширяева С.О.* // *Изв. РАН. МЖГ*. 1994. № 3. С. 3–22.
- [4] *Tsatopolous J.A., Brown R.A.* // *J. Fluid Mech.* 1983. Vol. 127. P. 519–537.
- [5] *Wang T.G., Anilkumar A.V., Lee C.P.* // *J. Fluid Mech.* 1996. Vol. 308. P. 1–14.
- [6] *Ширяева С.О.* // *ЖТФ*. 2001. Т. 71. Вып. 2. С. 27–35.
- [7] *Ширяева С.О.* // *Письма в ЖТФ*. 2000. Т. 26. Вып. 22. С. 76–83.
- [8] *Ширяева С.О.* // *Изв. РАН. МЖГ*. 2001. № 3. С. 173–184.
- [9] *Жаров А.Н., Ширяева С.О., Григорьев А.И.* // *ЖТФ*. 2003. Т. 73. Вып. 6. С. 36–45.
- [10] *Жаров А.Н., Григорьев А.И., Ширяева С.О.* // *Письма в ЖТФ*. 2003. Т. 29. Вып. 9. С. 75–82.
- [11] *Ландау Л.Д., Лифшиц Е.М.* *Гидродинамика*. М.: Наука, 1986. 733 с.
- [12] *Ландау Л.Д., Лифшиц Е.М.* *Электродинамика сплошных сред*. М.: Наука, 1982. 620 с.
- [13] *Найфе А.Х.* *Методы возмущений*. М.: Мир, 1976. 455 с.
- [14] *Дячук В.А., Мучник В.М.* // *ДАН СССР*. 1979. Т. 248. № 1. С. 60–63.
- [15] *Grigor'ev A.I., Shiryayeva S.O.* // *Physica Scripta*. 1996. Vol. 54. P. 660–666.
- [16] *Облака и облачная атмосфера. Спр.* / Под ред. И.П. Мазина и др. Л.: Гидрометеиздат, 1989. 647 с.
- [17] *Ширяева С.О.* // *ЖТФ*. 2002. Т. 73. Вып. 2. С. 19–30.
- [18] *Ширяева С.О., Григорьев А.И., Белоножко Д.Ф.* // *Письма в ЖТФ*. 2002. Т. 28. Вып. 22. С. 45–51.
- [19] *Григорьев А.И., Ширяева С.О.* // *ЖТФ*. 1991. Т. 61. Вып. 3. С. 19–28.
- [20] *Варшалович Д.А., Москалев А.Н., Херсонский В.К.* *Квантовая теория углового момента*. Л.: Наука, 1975. 439 с.